

الگوریتمی برای تحلیل پایداری و تعیین منطقه‌ی پایداری با استفاده از تغییر در مجموعه‌ی مرجع در تحلیل پوششی داده‌ها

حسین نیک‌زینت متین (کارشناس ارشد)

محمد مدرس (استاد)

ناصر سلماسی (استادیار)

دانشکده هندسی صنایع، دانشگاه صنعتی شریف

در این تحقیق روشی برای تحلیل حساسیت و پایداری واحداً در روش تحلیل پوششی داده‌ها توسعه می‌یابد. ابتدا مدلی ارائه می‌شود که به‌وسیله‌ی آن می‌توان نزدیک‌ترین مرزی را که واحد مورد بررسی با تغییر در داده‌هایش روی آن تصویر می‌شود بدست آورد. اهمیت این مدل در این است که در بدست آوردن منطقه‌ی پایداری واحداً می‌تواند بسیار مؤثر باشد. سپس با استفاده از این مدل، الگوریتمی برای تعیین منطقه‌ی پایداری واحد مورد بررسی ارائه می‌شود. در این رویکرد حجم محاسبات به میزان قابل ملاحظه‌ی کاهش می‌یابد، در حالی که بسیاری از پیش‌شرط‌ها و محدودیت‌های رویکردهای دیگر را نیز نخواهد داشت.

Hosein_matin@alum.sharif.edu
modarres@sharif.edu
nsalmasi@sharif.edu

واژگان کلیدی: تحلیل پوششی داده‌ها، تحلیل حساسیت، منطقه‌ی پایداری.

مقدمه

تحقیقان زیادی از این رویکرد برای مواردی غیر از رتبه‌بندی واحداً استفاده کرده‌اند. در یکی از بررسی‌ها منطقه‌ی پایداری برای یک واحد کارای گوشه به‌دست آورده شد.^[۱] در این رویکرد واحدهای کارا تعیین و سپس واحد کارای مورد بررسی حذف شده و واحدهای ناکارا مجدداً مورد بررسی قرار می‌گیرند تا مشخص شود که کدام یک از آنها در نبود واحد مورد بررسی به یک واحد کارا تبدیل شده است. سپس با تعیین ابرصفحه‌های وجهی گذرنده از این واحداً منطقه‌ی پایداری برای واحد مورد بررسی مشخص می‌شود. این کار نیازمند حل تعداد زیادی از مدل‌های ریاضی است و طبیعتاً هر قدر تعداد واحدهای ناکارا بیشتر باشد تعداد مدل‌های ریاضی مورد نیاز نیز بیشتر می‌شود.

در این تحقیق ابتدا مدل جدیدی ارائه می‌شود که به‌وسیله‌ی آن می‌توان به نزدیک‌ترین مرزی که واحد مورد بررسی را می‌توان با تغییر در داده‌هایش روی آن تصویر کرد دست یافت. به‌دست آوردن این مرز از این لحاظ حائز اهمیت است که چنین مرزی در حقیقت محدودیتی است برای تغییرات مجاز وروdi ها و خروجی‌های واحداً در تغیین منطقه‌ی پایداری برای آنها. سپس با استفاده از این مدل الگوریتمی برای تعیین منطقه‌ی پایداری مربوط به یک واحد کارای مورد بررسی ارائه می‌شود که نسبت به رویکردهای ارائه‌شده نیازمند حل کمترین تعداد مدل‌های ریاضی است. در حقیقت این الگوریتم با استفاده از مدل ارائه‌شده مرزهای محدود کننده‌ی تغییرات واحدهای مربوط به واحد مورد بررسی را به‌دست می‌آورد.

در این نوشتار ابتدا مباحث مقدماتی و مدل‌های اولیه را مرور می‌کنیم. سپس

در روش تحلیل پوششی داده‌ها، محاسبه‌ی کارایی یک واحد تصمیم‌گیری (DMU)^[۲] در مقابله با سایر واحداً هدف قرار گرفته است. در این روش، تحلیل حساسیت و پایداری یک واحد همواره از مباحثی بوده که بسیار مورد توجه محققان قرار گرفته است. دلیل اهمیت این بحث آن است که داده‌ها معمولاً قطعی نیستند و مرتب دچار تغییر می‌شوند. رویکردهای مختلفی برای بررسی این تغییرات وجود دارند. در برخی از تحقیقات چنین تغییراتی به صورت متغیرهای تصادفی مورد توجه قرار گرفته‌اند و محققان به‌دبیال یافتن توزیع‌های احتمالی مناسب برای این تغییرات بوده‌اند، اما در برخی دیگر از تحقیقات این تغییرات در قالب تحلیل حساسیت و پایداری داده‌ها مورد بررسی قرار گرفته‌اند. در اولین بررسی تغییرات روی یک تک خروجی مورد توجه بوده است.^[۳] سپس در مطالعات بعدی شرط کافی برای تغییرات همزمان روی وروdi ها و خروجی‌های یک واحد کارا مورد بررسی قرار گرفت به‌طوری که کارایی آن حفظ شود.^[۴] منطقه‌ی پایداری برای یک واحد کارا با تغییر در وروdi ها یا به‌نهایی در خروجی‌ها و همچنین تغییرات همزمان در وروdi ها و خروجی‌های آن واحد مورد مطالعه قرار گرفت^[۵] که نتایج آن برای شرایط خاصی برقرار است. در مطالعات بعدی این بررسی‌ها عمومیت بیشتری یافت اگرچه نیازمند حل تعداد زیادی از مدل‌های ریاضی بوده است.^[۶] برای رتبه‌بندی واحدهای کارا رویکردی ارائه شده است که در آن واحد مورد بررسی از مجموعه واحدها حذف و کارایی محاسبه می‌شود.^[۷]

تاریخ: دریافت ۲۹/۱۰/۱۳۸۷، داوری ۲۵/۶/۱۳۸۸، پذیرش ۱۳/۶/۱۳۸۹.

می‌دهند. بنابراین می‌توان گفت:

$$PPS = \{(x, y) | y \text{ can be produced by } x\}$$

برای مجموعه‌ی فوق می‌توان ویژگی‌هایی برشمرد:^[۸]

الف) فعالیت‌های مشاهده شده‌ی (x_j, y_j) به‌ازای همه‌ی مقادیر j متعلق به مجموعه‌ی PPS است.

ب) اگر فعالیت (x, y) متعلق به مجموعه‌ی PPS باشد، آنگاه فعالیت (tx, ty) نیز برای تمام مقادیر t متعلق به مجموعه‌ی PPS است. این ویژگی را «بازده به مقیاس ثابت» می‌نامند.

ج) برای فعالیت (x, y) در PPS ، هر فعالیت نیمه‌مشیت، $(\bar{x}, \bar{y}) \geq^{\circ}$ و دستکم یک مؤلفه از هر کدام از این بردارها غیر صفر باشد، که در آن $\bar{x} \geq x, \bar{y} \leq y$ باشد در PPS خواهد بود.

د) حاصل هر ترکیب آفین از فعالیت‌های PPS نیز در PPS خواهد بود.

تعریف ۲: مجموعه‌ی امکان $(T_c) PPS$ را که دارای تمام ویژگی‌های الف تا داشد، می‌توان چنین بیان کرد:

$$PPS(T_c) = \left\{ (x, y) \middle| x \geq \sum_{j=1}^n \lambda_j x_j, y \leq \sum_{j=1}^n \lambda_j y_j, \lambda_j \geq^{\circ}, j = 1, \dots, n \right\}$$

تعریف ۳: در صورتی که شرایط بازده به مقیاس ثابت (شرط ب) از مجموعه ویژگی‌های فوق حذف شود، مجموعه‌ی $(T_v) PPS$ که بیان‌گر مجموعه امکان تولید برای بازده به مقیاس متغیر است چنین بیان می‌شود:^[۹]

$$PPS(T_v) = \left\{ (x, y) \middle| x \geq \sum_{j=1}^n \lambda_j x_j, y \leq \sum_{j=1}^n \lambda_j y_j, \sum_j \lambda_j = 1, \lambda_j \geq^{\circ}, j = 1, \dots, n \right\}$$

در این تحقیق مجموعه‌ی امکان تولید $(T_v) PPS$ مورد نظر است.

ابرصفحه‌های حامی و ابرصفحه‌های وجهی^۵

هر ابرصفحه فضای را به دو قسمت تقسیم می‌کند. ابرصفحه

$$H_k : U^T y_k - V^T x_k + u_* = 0$$

یک «ابرصفحه‌ی حامی» در نقطه‌ی (x_k, y_k) نامیده می‌شود اگر به‌ازای هر $j = 1, \dots, n$ داشته باشیم:

$$U^T y_j - V^T x_j + u_* \leq^{\circ}, (u, v) \geq^{\circ}$$

تمام نقاط PPS در یک طرف ابرصفحه‌ی حامی قرار دارند.

در این تحقیق الگوریتمی که در ادامه مطلب ارائه شده، مبتنی بر تشخیص ابرصفحه‌های وجهی مربوط به مجموعه امکان تولید و تفکیک آن از ابرصفحه‌های حامی است، و بنابراین برای این کار در ادامه توضیحاتی ارائه شده است.

هرگاه مدل مضربی BBC (روابط ۵ تا ۸) را برای یک واحد کارای گوشه حل کنیم هر جواب بهینه‌ی آن به صورت (U^*, V^*, u^*) نشان‌گریک ابرصفحه‌ی حامی

تعریفی از ابرصفحه‌های حامی و ابرصفحه‌های وجهی و تفاوت بین آنها ارائه می‌شود و بعد مدل ریاضی جدیدی برای به دست آوردن نزدیکترین مرزهای کارایی برای تصویرکردن یک واحد کارای مورد بررسی توسعه می‌یابد. در ادامه، الگوریتمی ارائه می‌شود که به‌وسیله‌ی آن می‌توان منطقه‌ی پایداری را برای یک واحد کارا تعیین کرد. با استفاده از دو مثال عددی رویکرد پیشنهادی مورد بررسی بیشتر قرار می‌گیرد و در نهایت جمع‌بندی نتایج حاصله ارائه خواهد شد.

مباحث مقدماتی

فرض کنیم $x_j = [x_{1j}, \dots, x_{mj}]$ دارای بردارورودی DMU_j ، $j = 1, 2, \dots, n$ و بردار خروجی $y_j = [y_{sj}, \dots, y_{rj}]$ است و به صورت (x_j, y_j) نشان داده می‌شود. با این پیش‌فرض، برخی از مدل‌های ریاضی که در این تحقیق مورد استفاده قرار می‌گیرند عبارت‌اند از:

(الف) مدل افزایشی^[۱۰]

$$\max \sum_{i=1}^m s_i^- + \sum_{r=1}^s s_r^+ \quad (1)$$

$$\text{s.t. } \sum_{j=1}^n \lambda_j x_{ij} + s_i^- = x_{i*}; \quad i = 1, \dots, m \quad (2)$$

$$\sum_j \lambda_j y_{rj} - s_r^+ = y_{r*}. \quad (3)$$

$$\sum_j \lambda_j = 1 \quad (4)$$

$$s_i^- \geq^{\circ}, s_r^+ \geq^{\circ}, \lambda_j \geq^{\circ}; \quad i = 1, \dots, m; \quad r = 1, \dots, s; \quad j = 1, \dots, n \quad (5)$$

(ب) مدل مضربی BCC^[۱۱]

$$\max U^T Y_* + u_* \quad (5)$$

$$\text{s.t. } U^T Y_j - V^T X_j + u_* \leq^{\circ} \quad (6)$$

$$V^T X_* = 1 \quad (7)$$

$$U, V >^{\circ}; \quad u_* : \text{free in sign} \quad (8)$$

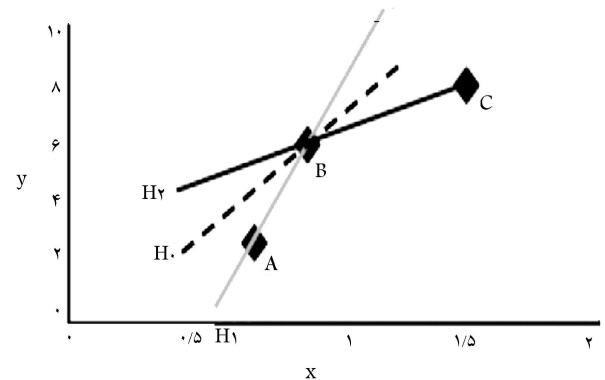
که در آن $U^T = (u_1, \dots, u_s)$ بردار ضرایب مربوط به خروجی‌های است و $V^T = (v_1, \dots, v_m)$ نیز بردار ضرایب مربوط به ورودی‌های است که با استفاده از این مدل تعیین می‌شوند. مدل BCC دارای جهت است یعنی یا ورودی محور است یا خروجی محور در صورتی که مدل افزایشی^[۱۰] چنین نیست زیرا تابع هدف آن فقط براساس متغیرهای کمکی نوشته شده است. اگرچه هر دو مدل تعیین‌کننده‌ی واحدهای کارا و ناکارا هستند ولی مدل افزایشی قادر به تشخیص ضرایب ارائه شده در مدل BCC نیست. دلیل اهمیت این ضرایب در این است که از آنها در تعریف ابرصفحه‌های حامی و ابرصفحه‌های وجهی استفاده می‌شود. در این تحقیق از مدل افزایشی در مشخص‌کردن کارایی یا ناکارایی یک واحد استفاده می‌شود و از مدل BCC نیز در تعریف ابرصفحه‌های حامی و ابرصفحه‌های وجهی.

(تعاریف ۱) اگر هر $DMU_j = (X_j, Y_j)$ را یک فعالیت تعریف کنیم، مجموعه افعالیت‌های موجه را «مجموعه امکان تولید^{۱۲}» می‌نامند و آن را با نماد PPS نمایش

مربوط به واحد مورد بررسی بزرگ‌تر و خروجی‌های مربوط به این واحد کوچک‌تر می‌شوند.

در برخی از منابع موجود روش‌های مختلفی برای به دست آوردن مقادیر مربوط به ضرایب فوق ارائه شده است.^[۱۲] اما آنچه در این تحقیق نشان داده می‌شود مدلی است که مقادیر این ضرایب را به گونه‌ی بدست می‌آورد که \widehat{DMU} روی نزدیک‌ترین مرز کارای حاصل از سایر واحدها قرار گیرد، به طوری که واحد مورد بررسی دارای کمترین فاصله از واحد تصویرشده باشد. این کار را به وسیله‌ی روابط ۱۱ تا ۱۹ می‌توان انجام داد (شکل ۳). مشخص است که اگر مقدار ورودی واحد B را افزایش دهیم تصویر این واحد روی مرز EC قرار می‌گیرد؛ طول این واحد تا تصویر آن (مقدار افزایش لازم در ورودی) که در شکل با خط‌چین نشان داده شده است برابر $(x_B - 1 - \beta)$ است و اگر فقط خروجی این واحد را کاهش دهیم این واحد روی مرز AD قرار می‌گیرد که طول آن برابر $(y_B - \alpha)$ خواهد بود (مقدار کاهش لازم در خروجی). در مدل ارائه شده در این تحقیق که در روابط ۱۱ تا ۱۹ نشان داده شده، برای این تصویر روی مرز ED قرار بگیرد چنان استدلال شده است که باید از افزایش نامتناسب هریک از این طول‌ها جلوگیری شود. در حقیقت این مدل از نوع مسائل Min-Max است.

در این روابط $m, i = 1, \dots, m$ مقدار افزایشی است که در ورودی واحد DMU حاصل می‌شود تا تصویر این واحد روی مرز کارای حاصل از



شکل ۱. ابرصفحه‌های وجهی و ابرصفحه‌های حامی.

است.^[۷] از یک واحد کارای گوشه بی شمار ابرصفحه‌ی حامی می‌گذرد که هر کدام از این ابرصفحه‌ها یک جواب بهینه برای مدل مضربی BCC است. اما فقط تعدادی از این ابرصفحه‌های حامی وجوده تشکیل دهنده PPS هستند.^[۴] در شکل ۱ واحدهای A, B و C مورد بررسی قرار گرفته‌اند و ابرصفحه‌های AB و BC نشان‌دهنده‌ی مرزهای مجموعه PPS هستند. ابرصفحه‌های H۱ و H۲ ابرصفحه‌های وجهی برای مجموعه امکان تولید هستند و هر ترکیب خطی از این دو ابرصفحه مانند H۰ یک ابرصفحه‌ی حامی برای این مجموعه است که دست کم در یک نقطه با این مجموعه برخورد دارد (در این شکل در نقطه‌ی B تلاقی دارد) و چنان که در شکل ۱ مشخص است بی نهایت ابرصفحه‌ی حامی وجود دارد که از این نقطه می‌گذرند.

برای تعیین وجود کارای معرف مجموعه امکان تولید روشی بیان شده^[۱۳] که در این تحقیق از آن برای به دست آوردن وجود کارای مورد نظر به منظور دست‌یابی به منطقه‌ی پایداری استفاده می‌شود.

ارائه‌ی مدلی برای تعیین نزدیک‌ترین مرزی که تصویر واحد کارای مورد بررسی با تغییر داده‌ها روی آن قرار می‌گیرد

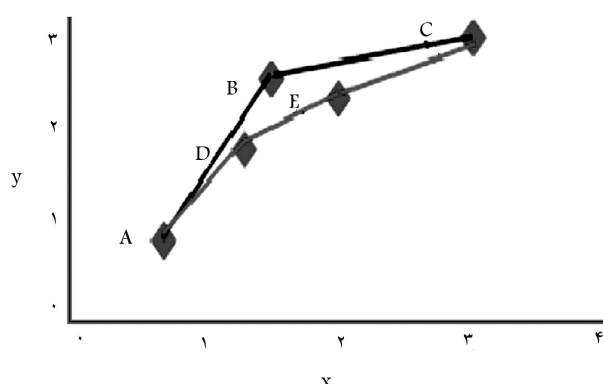
چنان که در شکل ۲ مشخص است اگر ورودی‌ها و خروجی‌های واحد B را تغییر دهیم (برخی از ورودی‌ها بزرگ‌تر و برخی از خروجی‌ها کوچک‌تر شوند) آنگاه این واحد به سمت مرزهای کارای حاصل از سایر واحدهای A, C, E, D حرکت می‌کند. اما از لحاظ فاصله‌ی اقلیدسی مرز ED نزدیک‌ترین مرز به واحد B است. در اینجا هدف این است که با استفاده از مدلی بتوانیم این نزدیک‌ترین مرز را به دست آوریم.

با این فرض که $(\beta - 1)x_R$ واحد کارای مورد بررسی برای تعیین منطقه‌ی پایداری باشد، هر تغییری در ورودی‌ها و خروجی‌های این واحد را می‌توان با استفاده از روابط ۹ و ۱۰ نشان داد:

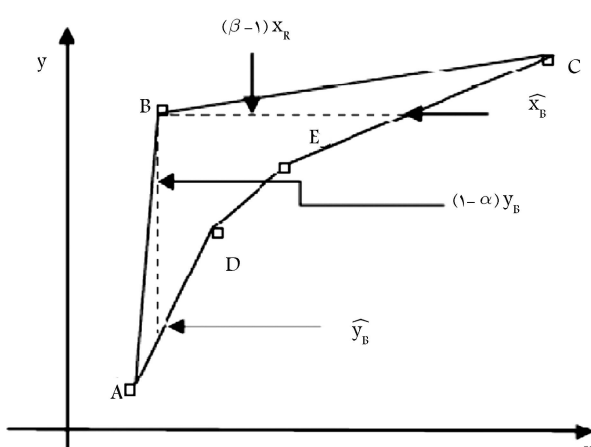
$$\hat{x}_k = \beta_k x_k; \quad k = 1, \dots, m, \beta_k \geq 1 \quad (9)$$

$$\hat{y}_r = \alpha_r y_r; \quad r = 1, \dots, s, \alpha_r \geq 1 \quad (10)$$

این مقادیر در ضرایب عددی β_k, α_r حاصل می‌شوند. بنابراین با توجه به تعریف ارائه شده از این ضرایب عددی که در روابط ۹ و ۱۰ داده شده، ورودی‌های



شکل ۲. مرزهای کارایی که واحد B با تغییر در داده‌ها به سمت آنها حرکت می‌کند.



شکل ۳. یافتن نزدیک‌ترین مرز کارایی برای تصویر واحد B.

$$p \geq (\beta_i - 1)x_{i^*}; \forall i \quad (23)$$

$$q \geq (1 - \alpha_r)y_{r^*}; \forall r \quad (24)$$

$$w \geq p \quad (25)$$

$$w \geq q \quad (26)$$

$$\sum_{\substack{j \neq \\ j \notin T_i}} \lambda_j = 1 \quad (27)$$

$$\beta_i \geq 1; 0 \leq \alpha_r \leq 1 \quad (28)$$

روابط ۲۰ تا ۲۸ در حقیقت همان روابط قبلي هستند با این تفاوت که واحدهای کارای ثانویه‌ی که در مجموعه‌ی T_1 به دست آمده‌اند از مجموعه واحدهای حذف شده‌اند. به این ترتیب با حذف این واحدهای کارای ثانویه‌ی جدید شناسایی می‌شوند. عناصر مجموعه‌های T_1 و T_2 را چنین به هنگام می‌کنیم:

$$T_1 = T_1 \cup \left\{ j \mid \lambda_i > 0 \text{ وحدی } DMU_j; j \neq 0 \right\} \quad (29)$$

$$T_2 = T_2 \cup \left\{ j \mid \lambda_i > 0 \text{ وحدی کارا باشد}, 0 \right\}; \quad (30)$$

گام چهارم) اگر واحدهای مرجع فقط واحدهای کارا باشند، یعنی مجموعه‌ی Ω_1 تغییری نداشته باشد، الگوریتم توقف می‌کند در غیر این صورت به گام ۳ بر می‌گردیم زیرا از روی شکل ۳ نیز واضح است که در این صورت هیچ واحد کارای ثانویه‌ی نیز تواند وجود داشته باشد.

$$\Omega_2 = T_2 \cup \{DMU\} \quad \Omega_1 = T_1 \cup T_2 \quad \text{مجموعه‌های جدیدی به صورت } \Omega_1 \text{ و } \Omega_2 \text{ تعریف می‌کنیم.}$$

گام پنجم) با استفاده از الگوریتم ارائه شده‌ی قبلی، [۴] ابرصفحه‌های وجهی معرف PPS برای هر کدام از مجموعه‌های Ω_1 و Ω_2 به دست می‌آیند. اگر مجموعه ابرصفحه‌های معرف PPS برای مجموعه‌ی Ω_1 را با H_ℓ که در آن $t = 1, \dots, t$ که در آن $t = 1, \dots, t'$ را با H_f که در آن $t' = 1, \dots, t'$ نیز به صورت:

$$H_l^+ : U_l^{*T} y - v_l^{*T} x + u_l^* \geq 0; \forall l$$

$$H_f^- : U_f^{*T} y - v_f^{*T} x + u_f^* \leq 0; \forall f$$

تعریف شوند و نیز:

$$S_1 = \bigcup_{l=1}^t H_l^+, S_2 = \bigcap_{f=1}^{t'} H_f^-$$

در این صورت $S = S_1 \cap S_2$ مجموعه‌ی پایداری برای واحد مورد بررسی خواهد بود. در ادامه دو مثال عددی با استفاده از رویکرد ارائه شده، مورد بررسی قرار می‌گیرد. مثال ۱: در این مثال تعداد ۸ واحد با یک ورودی و یک خروجی مورد بررسی قرار می‌گیرند. [۶] در جدول ۱ داده‌های مربوط به این واحدها آورده شده است.

جدول ۱. داده‌های مربوط به مثال عددی ۱.

H	G	F	E	D	C	B	A	
۴	۳	۵	۴/۵	۶	۸	۶	۲	خرجی
۸	۴	۶	۳/۳	۴/۴	۷	۳	۲	ورودی

سایر واحدها قرار گیرد و در مورد $(y_r - \alpha_r)(y_r - \alpha_r)$ نیز مقدار کاهش در خروجی را نشان می‌دهد.

$$w \geq p \quad (25)$$

$$w \geq q \quad (26)$$

$$\sum_{\substack{j \neq \\ j \notin T_i}} \lambda_j x_{ij} \leq \beta_i x_{i^*}; \forall i \quad (27)$$

$$\sum_{\substack{j \neq \\ j \notin T_i}} \lambda_j y_{ij} \leq \alpha_r y_{r^*}; \forall r \quad (28)$$

$$\beta_i \geq 1; 0 \leq \alpha_r \leq 1 \quad (29)$$

$$p \geq (\beta_i - 1)x_{i^*}; \forall i \quad (30)$$

$$q \geq (1 - \alpha_r)y_{r^*}; \forall r \quad (31)$$

$$w \geq p \quad (32)$$

$$w \geq q \quad (33)$$

$$\sum_{\substack{j \neq \\ j \notin T_i}} \lambda_j = 1 \quad (34)$$

$$\beta_i \geq 1; 0 \leq \alpha_r \leq 1 \quad (35)$$

الگوریتمی برای یافتن منطقه‌ی پایداری مربوط به یک واحد کارای گوشه

تا اینجا مدلی ارائه شد که به سیله‌ی آن می‌توانیم نزدیک‌ترین مرزی را که واحد مورد بررسی می‌تواند روی آن تصویر شود به دست آوریم. در ادامه نیز الگوریتمی ارائه می‌شود که می‌توان از طریق آن منطقه‌ی پایداری را برای یک واحد کارای گوشه به دست آورد.

گام اول) با استفاده از روابط ۱ تا ۴ کارایی تمام واحدها ارزیابی می‌شود. گام دوم) فرض کنیم DMU یک واحد کارای گوشه باشد که تعیین منطقه‌ی پایداری آن مورد نظر است. روابط ۱۱ تا ۱۹ را برای آن مدل می‌کنیم و مجموعه‌های زیر را تعریف می‌کنیم:

$$T_1 = \left\{ j \mid \lambda_i^* > 0 \text{ یک واحد ناکارا است. } DMU_j \right\}$$

$$T_2 = \left\{ j \mid \lambda_i^* > 0 \text{ یک واحد کارا است. } DMU_j \right\}$$

در حقیقت اعضای مجموعه‌ی T_1 واحدهای ناکارایی هستند که با حذف واحد DMU به واحدهای کارا تبدیل شده‌اند. در این متن به چنین واحدهای واحدهای کارای ثانویه گفته می‌شود. اعضای مجموعه‌های T_1 و T_2 واحدهای مربوط به این واحدهای منطقه‌ی تصویرشده نامیده می‌شوند.

گام سوم) مدل زیر را فرموله می‌کنیم:

$$\min w \quad (36)$$

$$\sum_{\substack{j \neq \\ j \notin T_i}} \lambda_j x_{ij} \leq \beta_i x_{i^*}; \forall i \quad (37)$$

$$\sum_{\substack{j \neq \\ j \notin T_i}} \lambda_j y_{ij} \leq \alpha_r y_{r^*}; \forall r \quad (38)$$

تفاوت بین دو مدل:
 ۱. با توجه به رویکرد ارائه شده^[۶] باید برای تشخیص واحدهای کارای ظرفی E و D تعداد ۵ مدل ریاضی حل شود زیرا تعداد ۵ واحد ناکارا وجود دارد، و به ازای هر واحد ناکارا باید یک مدل ریاضی فرموله شود، در حالی که در رویکرد ارائه شده در این مقاله فقط ۱ مدل ریاضی حل شده است.

۲. برخی از ابرصفحه‌های وجهی حاصل در رویکرد ارائه شده^[۶] صحیح نیستند.
 مثال ۲: در این مثال تعداد ۱۱ واحد، با دو واحد ورودی و دو واحد خروجی در جدول ۲ آورده شده است.

۱. با استفاده از روابط ۱ تا ۴ واحدهای کارای اولیه عبارت‌اند از: {۱, ۲, ۴, ۵}.

حال می‌خواهیم برای واحد ۱ منطقه‌ی پایداری را مورد بررسی قرار دهیم.

۲. با استفاده از روابط ۱۱ تا ۱۹ واحدهای مرجع عبارت‌اند از: {۵, ۶}. بنابراین $T_1 = \{DMU_E, DMU_D\}$

۳. با استفاده از روابط ۱ تا ۲۸ واحدهای مرجع عبارت‌اند از: {۲, ۵}. بنابراین

$T_2 = \{DMU_2, DMU_5\}$

۴. با استفاده از روابط ۲۰ تا ۲۸ واحدهای مرجع عبارت‌اند از: {۲, ۵}. بنابراین

$T_3 = \{DMU_2, DMU_5\}$

۵. با استفاده از الگوریتم ارائه شده^[۹] ابرصفحه‌ی وجهی معرف مجتمعه‌ی Ω_1 جواب‌های بهینه‌ی چندگانه‌ی حاصل می‌شوند که از بین آنها فقط جواب زیر می‌تواند یک وجه معرف برای مجتمعه‌ی امکان تولید باشد:

$$S_1 = \begin{cases} U_1^* = ۰,۰۰۴۶ \\ U_2^* = ۰,۰۵۵ \\ V_1^* = ۰,۰۱۲۸ & DMU_{2,4,5,6} \in H \\ V_2^* = ۰,۰۱۲۲ \\ u_*^* = ۰,۱۰۴ \end{cases}$$

جدول ۲. داده‌های مربوط به مثال ۲.

واحد گیری	ورودی ۱	ورودی ۲	خروجی ۱	خروجی ۲
۱	۴۰	۳۰	۱۶۰	۱۰۰
۲	۳۰	۶۰	۱۸۰	۷۰
۳	۹۳	۴۰	۱۷۰	۶۰
۴	۵۰	۷۰	۱۹۰	۱۳۰
۵	۸۰	۳۰	۱۸۰	۱۲۰
۶	۳۵	۴۵	۱۴۰	۸۲
۷	۱۰۵	۷۵	۱۲۰	۹۰
۸	۹۷	۶۷	۱۰۰	۸۲
۹	۱۰۰	۵۰	۱۴۰	۴۰
۱۰	۹۰	۶۰	۱۴۰	۱۰۵
۱۱	۹۸	۶۵	۱۴۰	۵۰

۱. با بهکارگیری روابط ۱ تا ۴ مشخص می‌شود که واحدهای A, B و C واحدهای کارای اولیه و سایر واحدهای ناکارا هستند. فرض کنیم که هدف تعیین منطقه‌ی پایداری برای واحد B است.

۲. بنابراین روابط ۱۱ تا ۱۹ برای این واحد فرموله می‌شوند.

۳. نتیجه نشان می‌دهد که واحدهای E و D واحدهای مرجع‌اند. بنابراین $T_2 = \phi$ و $T_1 = \{DMU_E, DMU_D\}$

۴. با بهکارگیری روابط ۲۰ تا ۲۸ واحدهای مرجع می‌شود که واحدهای مرجع بعدی A و C خواهند بود؛ بنابراین می‌توان گفت $T_1 = \{DMU_E, DMU_D\}$ و $T_2 = \{DMU_A, DMU_B\}$ است.

۵. توقف الگوریتم.

۶. $\Omega_1 = \{A, B, C\}$ و $\Omega_2 = \{A, C, E, D\}$.

۷. اکنون ابرصفحه‌های وجهی گذرنده از واحدهای فوق عبارت خواهند بود از:

$$S_{\setminus B} = \begin{cases} U^* = ۰,۱۶۷ \\ V^* = ۰,۳۳ & B \in H_{B \setminus} \\ u_*^* = ۰ \end{cases}$$

$$S_{\setminus B} = \begin{cases} U^* = ۰,۰۸۳ \\ V^* = ۰,۳۳ & B, A \in H_{B \setminus} \\ u_*^* = ۰,۵ \end{cases}$$

$$S_{\setminus B} = \begin{cases} U^* = ۰,۶۷ \\ V^* = ۰,۳۳ & B, C \in H_{B \setminus} \\ u_*^* = -۳ \end{cases}$$

$$S_{\setminus D} = \begin{cases} U^* = ۰,۱۶۷ \\ V^* = ۰,۲۳ & D, E \in H_{B \setminus} \\ u_*^* = ۰ \end{cases}$$

$$S_{\setminus D} = \begin{cases} U^* = ۰,۳ \\ V^* = ۰,۲۳ & C, D \in H_{B \setminus} \\ u_*^* = -۰,۷۷ \end{cases}$$

$$S_{\setminus E} = \begin{cases} U^* = ۰,۲۲ \\ V^* = ۰,۳ & D, E \in H_{\setminus E} \\ u_*^* = ۰ \end{cases}$$

$$S_{\setminus E} = \begin{cases} U^* = ۰,۱۶ \\ V^* = ۰,۳ & A, E \in H_{B \setminus} \\ u_*^* = ۰,۳ \end{cases}$$

چنان‌که مشخص است جواب $S_{\setminus B}$ به دلیل اینکه فقط یک واحد کارا روی آن قرار دارد نمی‌تواند یک ابرصفحه‌ی وجهی معرف برای PPS این مسئله باشد.

همچنین برای ابرصفحه‌ی وجهی معرفی مجموعه‌ی Ω_2 جواب زیر حاصل می‌شوند.

نتیجه‌گیری

در این تحقیق الگوریتمی ارائه شد که بهوسیله‌ی آن می‌توان منطقه‌ی پایداری را برای یک واحد کاملاً کارا به دست آورد. این امر با استفاده از تغییر در مجموعه‌ی مرجع این واحد زمانی که ورودی‌ها و خروجی‌های آن را به سمت مرزهای کارا برای سایر واحد حرکت می‌دهیم حاصل می‌شود. با توجه به مدلی که برای این کار ارائه شد، و همین‌طور با توجه به این که نشان داده شد برای به دست آوردن ابرصفحه‌های کارا گذرنده از واحد مورد بررسی، کافی است واحدهای کارا مجاور این واحد شد، و همین‌طور با توجه به این که نشان داده شد برای مجاور این واحد را مورد بررسی قرار دهیم و نه تمام واحدهای کارا موجود را، این روش می‌تواند به خصوص در مواردی که تعداد واحدهای مورد بررسی زیاد است روشی سریع‌تر از سایر روش‌های موجود باشد.

چنان‌که نشان داده شد، در این تحقیق فرض شده است که داده‌های مربوط به سایر واحدهای بدون تغییر باشند. بنابراین می‌توان در تحقیقات بعدی حالت‌هایی را مورد بررسی قرار داد که داده‌های مربوط به سایر واحدهای نیز هم‌زمان بتوانند تغییر کنند.

$$S_1 = \begin{cases} U_1^* = 0,022 \\ U_2^* = 0,003 \\ V_1^* = 0,013 & DMU_{1,2,4,5} \in H \\ V_2^* = 0,016 \\ u_*^* = -2,93 \end{cases}$$

تفاوت بین رویکردها:

با استفاده از رویکرد ارائه شده قبلى [۶] تعداد ۷ مدل ریاضی برای تعیین واحد کارا ثانویه‌ی ۶ باید فرموله شود و با استفاده از رویکرد ارائه شده در این تحقیق فقط با حل یک مدل ریاضی این واحد کارا ثانویه شناسایی شد.

پانوشت

1. decision making unit (DMU)
2. banker, charnes, cooper model (BCC model)
3. additive
4. production possibility set
5. supporting and facet hyper planes

منابع

1. Charnes, A.; Cooper, W.W.; Lewin, A.Y.; Morey, R.C. and Rousseau, J. "Sensitivity a stability analysis in DEA", *Annals of Operations Research*, **2**, pp. 139-156 (1985).
2. Charnes, A. and Neralic L. "Sensitivity analysis of additive model in data envelopment analysis", *European Journal of Operational Research*, **48**, pp. 332-341 (1990).
3. Zhu, J. "Robustness of the efficient DMUs in data envelopment analysis", *European Journal of operational Research*, **90**, pp. 451-460 (1996).
4. Seiford, L.M. and Zhu, J. "Stability region for maintaining efficiency in data envelopment analysis", *European Journal of Operational Research*, **108**, pp. 127-139 (1998).
5. Anderson, p. and Peterson, N.C. "A procedure for ranking efficient units in data envelopment analysis", *Management Science*, **39**(10), pp. 1261-1294 (1993).
6. Jahanshahloo, G.R. et al. "Sensitivity and Stability analysis in DEA", *Applied Mathematics and Computation*, **169**, pp. 897-904 (2005).
7. Cooper, W.W.; Seiford, L.M. and Tone, K., *Data Envelopment Analysis, A Comprehensive Text with Models, Applications, References*, Second edition, Springer, Chapter 4 (2007).
8. Banker, R.D.; Charnes, A. and Cooper, W.W. "Some models for estimating technical and scale efficiencies in data envelopment analysis", *Management Science*, **30**, pp. 1078-1092 (1984).
9. Jahanshahloo, G.R.; Shirzadi, A. and Mirdehghan, S.M. "Finding strong defining hyperplanes of PPS using multiplier form", *European Journal of Operational Research*, **194**, pp. 933-938 (2009).